

<sup>252</sup>Cf SF decay 2004Lu03

Type	Author	History Citation	Literature Cutoff Date
Full Evaluation	Jean Blachot	NDS 111, 1471 (2010)	1-May-2009

Parent: <sup>252</sup>Cf: E=0; J<sup>π</sup>=0<sup>+</sup>; T<sub>1/2</sub>=2.645 y 8; %SF decay=?

Measured E<sub>γ</sub>, I<sub>γ</sub>, γγ using GAMMASPHERE array of 102 Compton-suppressed Ge detectors.

First mass assignment from fragment-γ coin, 1970Jo20. Z assignment of 304γ from (K x-ray)γ coin, 1972Ho08. Cascade assignment from half-lives, 1970Jo20.

154.6γ and 304γ seen by 1970Jo20 and 1972Ho08 could belong to an other nuclide.

<sup>113</sup>Rh Levels

E(level) <sup>†</sup>	J <sup>π</sup>	E(level) <sup>†</sup>	J <sup>π</sup>	E(level) <sup>†</sup>	J <sup>π</sup>	E(level) <sup>†</sup>	J <sup>π</sup>
0.0 <sup>‡</sup>	(7/2 <sup>+</sup> )	785.13 <sup>f</sup> 10	(7/2 <sup>-</sup> )	1673.62 <sup>&amp;</sup> 10	(17/2 <sup>+</sup> )	2776.90 <sup>a</sup> 15	(25/2 <sup>+</sup> )
211.72 <sup>#</sup> 10	(9/2 <sup>+</sup> )	786.54 <sup>d</sup> 13	(7/2 <sup>+</sup> )	1775.49 <sup>‡</sup> 11	(19/2 <sup>+</sup> )	3090.76 <sup>‡</sup> 14	(27/2 <sup>+</sup> )
263.21 <sup>c</sup> 10	(3/2 <sup>+</sup> )	834.36 <sup>e</sup> 10	(5/2 <sup>+</sup> )	2025.30 <sup>@</sup> 10	(19/2 <sup>+</sup> )	3133.06 <sup>b</sup> 18	(27/2 <sup>+</sup> )
351.36 <sup>c</sup> 10	(5/2 <sup>+</sup> )	911.93 <sup>c</sup> 10	(9/2 <sup>+</sup> )	2037.97 <sup>#</sup> 12	(21/2 <sup>+</sup> )	3334.76 <sup>#</sup> 15	(29/2 <sup>+</sup> )
444.00 <sup>‡</sup> 10	(11/2 <sup>+</sup> )	936.33 <sup>&amp;</sup> 10	(13/2 <sup>+</sup> )	2133.19 <sup>a</sup> 12	(21/2 <sup>+</sup> )	3770.04 <sup>‡</sup> 16	(31/2 <sup>+</sup> )
570.96 <sup>@</sup> 10	(11/2 <sup>+</sup> )	1075.73 <sup>‡</sup> 10	(15/2 <sup>+</sup> )	2398.48 <sup>&amp;</sup> 11	(21/2 <sup>+</sup> )	4006.03 <sup>#</sup> 17	(33/2 <sup>+</sup> )
578.99 <sup>c</sup> 10	(7/2 <sup>+</sup> )	1258.63 <sup>e</sup> 13	(9/2 <sup>+</sup> )	2446.49 <sup>b</sup> 15	(23/2 <sup>+</sup> )		
600.72 <sup>d</sup> 10	(3/2 <sup>+</sup> )	1284.26 <sup>@</sup> 10	(15/2 <sup>+</sup> )	2470.32 <sup>‡</sup> 13	(23/2 <sup>+</sup> )		
684.66 <sup>#</sup> 10	(13/2 <sup>+</sup> )	1320.21 <sup>#</sup> 10	(17/2 <sup>+</sup> )	2723.24 <sup>#</sup> 14	(25/2 <sup>+</sup> )		

<sup>†</sup> From least-squares fit to E<sub>γ</sub>'s, assuming Δ(E<sub>γ</sub>)=0.1 keV; stated by 2004Lu03 as systematic error. Minimum uncertainty in level energy is assigned as 1 keV.

<sup>‡</sup> Band(A): g.s. band, α=-1/2.

<sup>#</sup> Band(a): g.s. band, α=+1/2.

<sup>@</sup> Band(B): 11/2<sup>+</sup> band, α=-1/2.

<sup>&</sup> Band(b): 13/2<sup>+</sup> band, α=+1/2.

<sup>a</sup> Band(C): 21/2<sup>+</sup> band, α=+1/2.

<sup>b</sup> Band(c): 23/2<sup>+</sup> band, α=-1/2.

<sup>c</sup> Band(D): 3/2<sup>+</sup> band.

<sup>d</sup> Band(E): π1/2[431] band, α=-1/2.

<sup>e</sup> Band(e): π1/2[431] band, α=+1/2.

<sup>f</sup> Band(F): π1/2[301] band.

γ(<sup>113</sup>Rh)

E <sub>γ</sub>	I <sub>γ</sub>	E <sub>i</sub> (level)	J <sub>i</sub> <sup>π</sup>	E <sub>f</sub>	J <sub>f</sub> <sup>π</sup>	Comments
88.17 10	5.4	351.36	(5/2 <sup>+</sup> )	263.21	(3/2 <sup>+</sup> )	
185.82 10	4.5	786.54	(7/2 <sup>+</sup> )	600.72	(3/2 <sup>+</sup> )	
206.10 10	0.6	785.13	(7/2 <sup>-</sup> )	578.99	(7/2 <sup>+</sup> )	
211.70 10	100	211.72	(9/2 <sup>+</sup> )	0.0	(7/2 <sup>+</sup> )	Decays with half-life=5 ns 1 (1970Jo20).
227.68 10	0.7	578.99	(7/2 <sup>+</sup> )	351.36	(5/2 <sup>+</sup> )	
232.28 10	20.7	444.00	(11/2 <sup>+</sup> )	211.72	(9/2 <sup>+</sup> )	
233.69 10	2.2	834.36	(5/2 <sup>+</sup> )	600.72	(3/2 <sup>+</sup> )	
236.0 1		4006.03	(33/2 <sup>+</sup> )	3770.04	(31/2 <sup>+</sup> )	
240.65 10	15.8	684.66	(13/2 <sup>+</sup> )	444.00	(11/2 <sup>+</sup> )	
244.0 1		3334.76	(29/2 <sup>+</sup> )	3090.76	(27/2 <sup>+</sup> )	
244.48 10	7.3	1320.21	(17/2 <sup>+</sup> )	1075.73	(15/2 <sup>+</sup> )	

Continued on next page (footnotes at end of table)

$^{252}\text{Cf}$  SF decay **2004Lu03** (continued) $\gamma(^{113}\text{Rh})$  (continued)

$E_\gamma$	$I_\gamma$	$E_i(\text{level})$	$J_i^\pi$	$E_f$	$J_f^\pi$	Comments
252.95 <i>10</i>	1.1	2723.24	(25/2 <sup>+</sup> )	2470.32	(23/2 <sup>+</sup> )	
262.55 <i>10</i>	2.2	2037.97	(21/2 <sup>+</sup> )	1775.49	(19/2 <sup>+</sup> )	
263.17 <i>10</i>	20.3	263.21	(3/2 <sup>+</sup> )	0.0	(7/2 <sup>+</sup> )	
313.35 <i>10</i>	2.7	2446.49	(23/2 <sup>+</sup> )	2133.19	(21/2 <sup>+</sup> )	
315.73 <i>10</i>		578.99	(7/2 <sup>+</sup> )	263.21	(3/2 <sup>+</sup> )	
330.45 <i>10</i>	0.9	2776.90	(25/2 <sup>+</sup> )	2446.49	(23/2 <sup>+</sup> )	
332.97 <i>10</i>	0.3	911.93	(9/2 <sup>+</sup> )	578.99	(7/2 <sup>+</sup> )	
337.58 <i>10</i>	5.1	600.72	(3/2 <sup>+</sup> )	263.21	(3/2 <sup>+</sup> )	
347.84 <i>10</i>	2.6	1284.26	(15/2 <sup>+</sup> )	936.33	(13/2 <sup>+</sup> )	
351.44 <i>10</i>	6.9	351.36	(5/2 <sup>+</sup> )	0.0	(7/2 <sup>+</sup> )	
351.65 <i>10</i>	1.3	2025.30	(19/2 <sup>+</sup> )	1673.62	(17/2 <sup>+</sup> )	
356.1 <sup>†</sup>		3133.06	(27/2 <sup>+</sup> )	2776.90	(25/2 <sup>+</sup> )	
357.67 <i>10</i>	5.1	2133.19	(21/2 <sup>+</sup> )	1775.49	(19/2 <sup>+</sup> )	
359.26 <i>10</i>	6.2	570.96	(11/2 <sup>+</sup> )	211.72	(9/2 <sup>+</sup> )	
365.33 <i>10</i>	5.2	936.33	(13/2 <sup>+</sup> )	570.96	(11/2 <sup>+</sup> )	
367.25 <i>10</i>	0.2	578.99	(7/2 <sup>+</sup> )	211.72	(9/2 <sup>+</sup> )	
367.67 <i>10</i>	1.0	3090.76	(27/2 <sup>+</sup> )	2723.24	(25/2 <sup>+</sup> )	
373.09 <i>10</i>	0.5	2398.48	(21/2 <sup>+</sup> )	2025.30	(19/2 <sup>+</sup> )	$E_\gamma$ : 373.2 in figure 6 of <a href="#">2004Lu03</a> .
389.36 <i>10</i>	1.7	1673.62	(17/2 <sup>+</sup> )	1284.26	(15/2 <sup>+</sup> )	
391.18 <i>10</i>	8.4	1075.73	(15/2 <sup>+</sup> )	684.66	(13/2 <sup>+</sup> )	
424.26 <i>10</i>	1.2	1258.63	(9/2 <sup>+</sup> )	834.36	(5/2 <sup>+</sup> )	
432.26 <i>10</i>	1.9	2470.32	(23/2 <sup>+</sup> )	2037.97	(21/2 <sup>+</sup> )	
433.82 <i>10</i>		785.13	(7/2 <sup>-</sup> )	351.36	(5/2 <sup>+</sup> )	
435.24 <i>10</i>		3770.04	(31/2 <sup>+</sup> )	3334.76	(29/2 <sup>+</sup> )	
443.95 <i>10</i>	18.9	444.00	(11/2 <sup>+</sup> )	0.0	(7/2 <sup>+</sup> )	
455.34 <i>10</i>	6.6	1775.49	(19/2 <sup>+</sup> )	1320.21	(17/2 <sup>+</sup> )	
472.93 <i>10</i>	19.3	684.66	(13/2 <sup>+</sup> )	211.72	(9/2 <sup>+</sup> )	
483.04 <i>10</i>	0.6	834.36	(5/2 <sup>+</sup> )	351.36	(5/2 <sup>+</sup> )	
560.54 <i>10</i>		911.93	(9/2 <sup>+</sup> )	351.36	(5/2 <sup>+</sup> )	
571.0 <i>1</i>	0.9	570.96	(11/2 <sup>+</sup> )	0.0	(7/2 <sup>+</sup> )	
571.07 <i>10</i>	1.8	834.36	(5/2 <sup>+</sup> )	263.21	(3/2 <sup>+</sup> )	
599.45 <i>10</i>	1.2	1284.26	(15/2 <sup>+</sup> )	684.66	(13/2 <sup>+</sup> )	$E_\gamma$ : 599.6 in figure 6 of <a href="#">2004Lu03</a> .
600.7 <i>1</i>	0.7	600.72	(3/2 <sup>+</sup> )	0.0	(7/2 <sup>+</sup> )	
611.45 <i>10</i>	0.5	3334.76	(29/2 <sup>+</sup> )	2723.24	(25/2 <sup>+</sup> )	
620.35 <i>10</i>	0.4	3090.76	(27/2 <sup>+</sup> )	2470.32	(23/2 <sup>+</sup> )	$E_\gamma$ : 620.5 in figure 6 of <a href="#">2004Lu03</a> .
631.65 <i>10</i>	5.2	1075.73	(15/2 <sup>+</sup> )	444.00	(11/2 <sup>+</sup> )	
635.55 <i>10</i>	14.4	1320.21	(17/2 <sup>+</sup> )	684.66	(13/2 <sup>+</sup> )	
643.66 <i>10</i>	0.5	2776.90	(25/2 <sup>+</sup> )	2133.19	(21/2 <sup>+</sup> )	
671.27 <i>10</i>	0.3	4006.03	(33/2 <sup>+</sup> )	3334.76	(29/2 <sup>+</sup> )	
679.33 <i>10</i>	0.3	3770.04	(31/2 <sup>+</sup> )	3090.76	(27/2 <sup>+</sup> )	
685.32 <i>10</i>	1.6	2723.24	(25/2 <sup>+</sup> )	2037.97	(21/2 <sup>+</sup> )	
686.57 <i>10</i>	0.3	3133.06	(27/2 <sup>+</sup> )	2446.49	(23/2 <sup>+</sup> )	
694.87 <i>10</i>	1.4	2470.32	(23/2 <sup>+</sup> )	1775.49	(19/2 <sup>+</sup> )	
699.76 <i>10</i>	2.5	1775.49	(19/2 <sup>+</sup> )	1075.73	(15/2 <sup>+</sup> )	
713.40 <i>10</i>	0.6	1284.26	(15/2 <sup>+</sup> )	570.96	(11/2 <sup>+</sup> )	$E_\gamma$ : 713.2 in figure 6 of <a href="#">2004Lu03</a> .
717.66 <i>10</i>	5.0	2037.97	(21/2 <sup>+</sup> )	1320.21	(17/2 <sup>+</sup> )	
724.60 <i>10</i>	2.2	936.33	(13/2 <sup>+</sup> )	211.72	(9/2 <sup>+</sup> )	
724.95 <i>10</i>	0.3	2398.48	(21/2 <sup>+</sup> )	1673.62	(17/2 <sup>+</sup> )	
737.34 <i>10</i>	1.1	1673.62	(17/2 <sup>+</sup> )	936.33	(13/2 <sup>+</sup> )	
740.95 <i>10</i>	0.3	2025.30	(19/2 <sup>+</sup> )	1284.26	(15/2 <sup>+</sup> )	
785		785.13	(7/2 <sup>-</sup> )	0.0	(7/2 <sup>+</sup> )	
813.0 <i>1</i>		2133.19	(21/2 <sup>+</sup> )	1320.21	(17/2 <sup>+</sup> )	$E_\gamma$ : from figure 6 of <a href="#">2004Lu03</a> .
840.3 <i>1</i>		1284.26	(15/2 <sup>+</sup> )	444.00	(11/2 <sup>+</sup> )	$E_\gamma$ : 840.2 in figure 6 of <a href="#">2004Lu03</a> .
949.61 <i>10</i>	0.9	2025.30	(19/2 <sup>+</sup> )	1075.73	(15/2 <sup>+</sup> )	$E_\gamma$ : 949.5 in figure 6 of <a href="#">2004Lu03</a> .

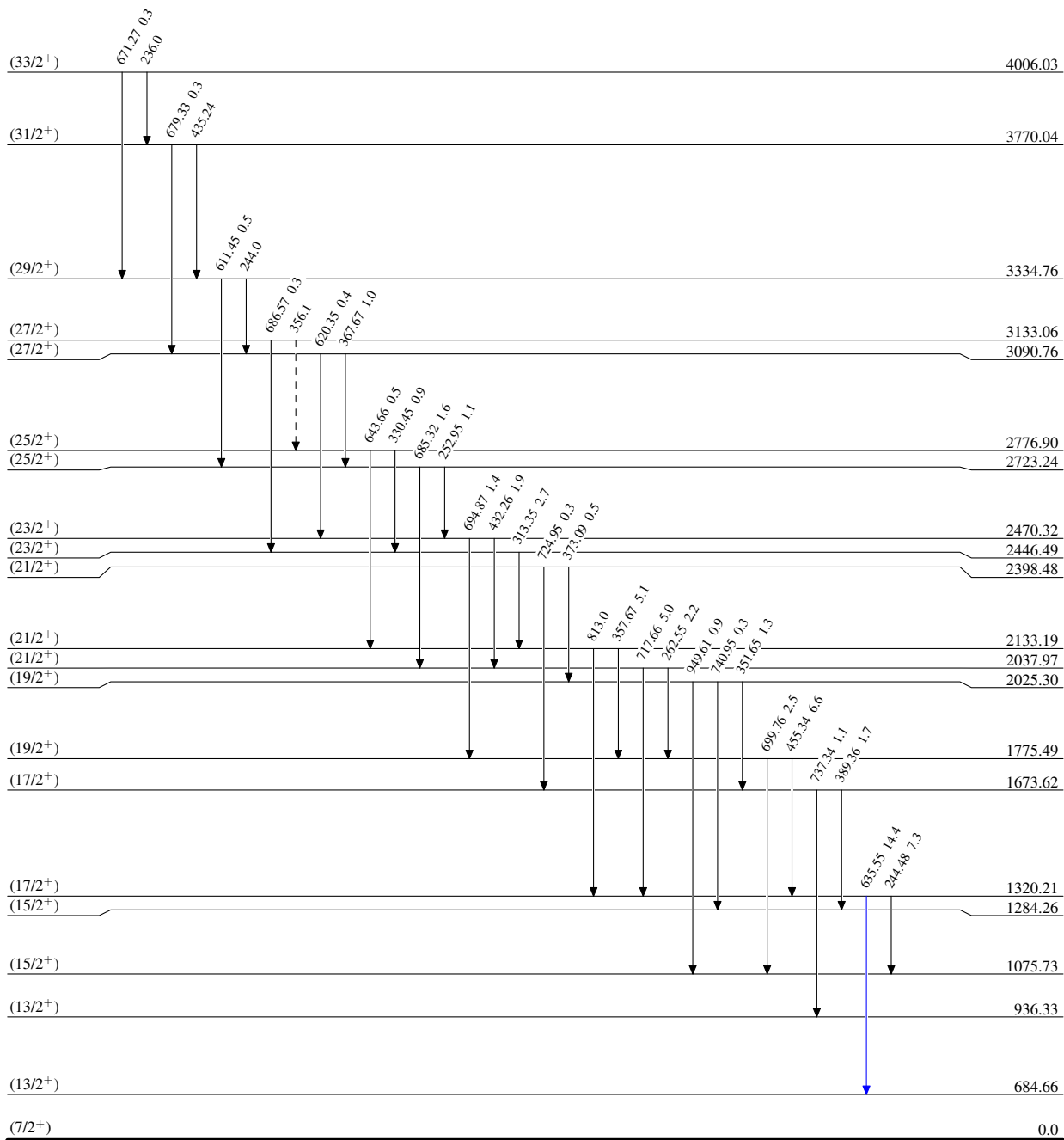
† Placement of transition in the level scheme is uncertain.

$^{252}\text{Cf}$  SF decay 2004Lu03

Legend

Level Scheme  
Intensities: Relative  $I_\gamma$

- $I_\gamma < 2\% \times I_\gamma^{\text{max}}$
- $I_\gamma < 10\% \times I_\gamma^{\text{max}}$
- $I_\gamma > 10\% \times I_\gamma^{\text{max}}$
- - - - -→  $\gamma$  Decay (Uncertain)



$^{113}_{45}\text{Rh}_{68}$

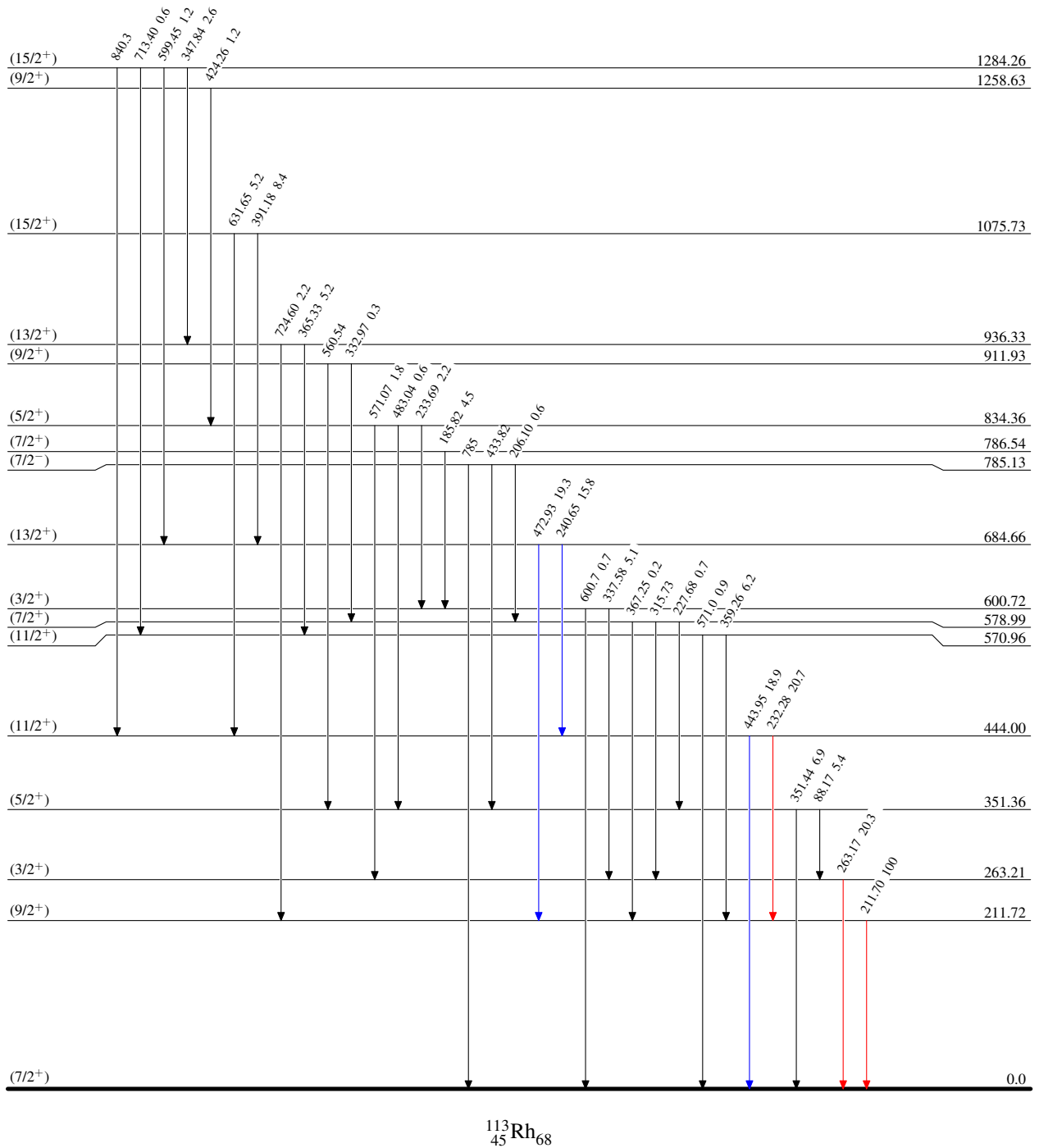
$^{252}\text{Cf}$  SF decay **2004Lu03**

Level Scheme (continued)

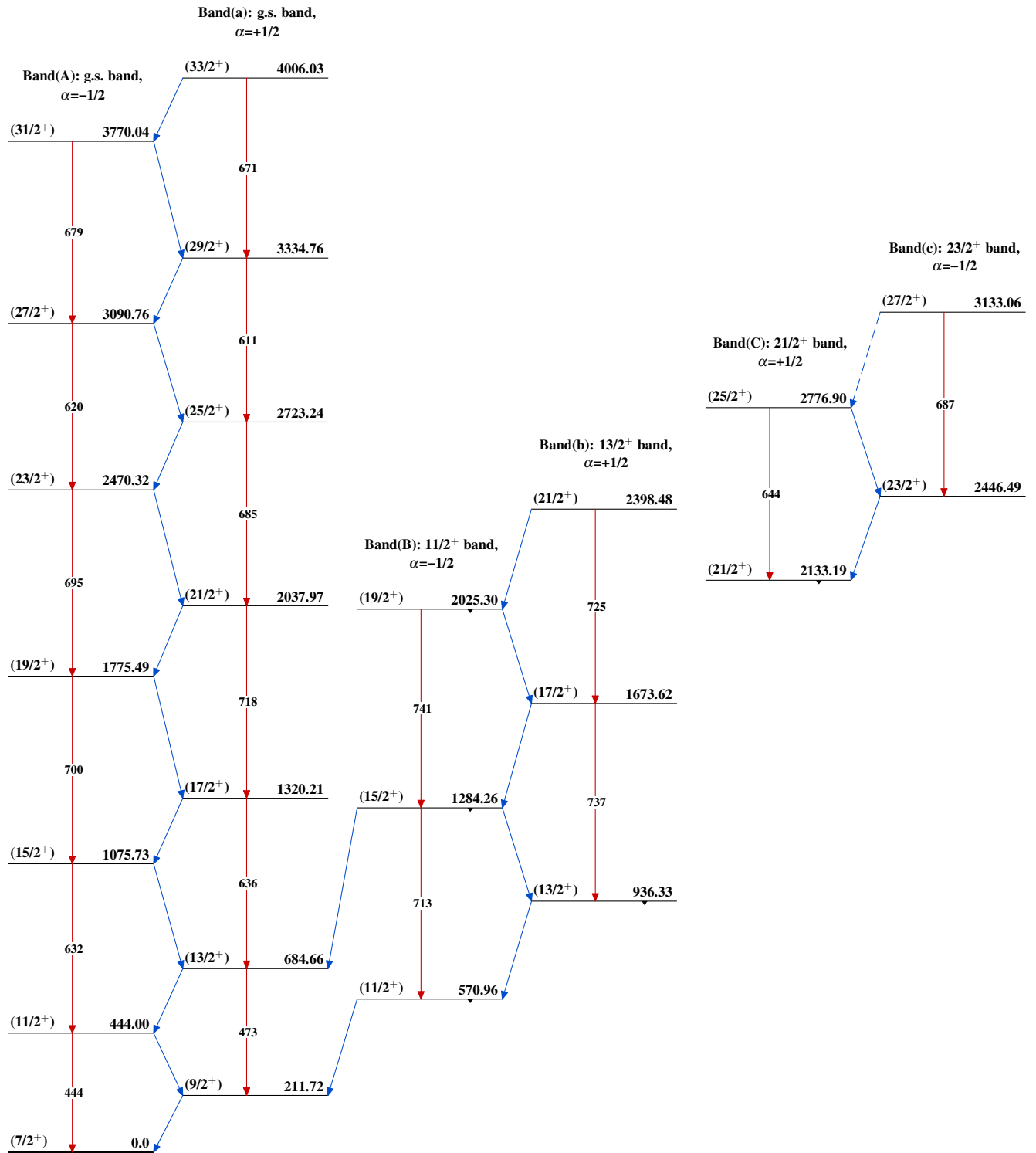
Intensities: Relative  $I_\gamma$

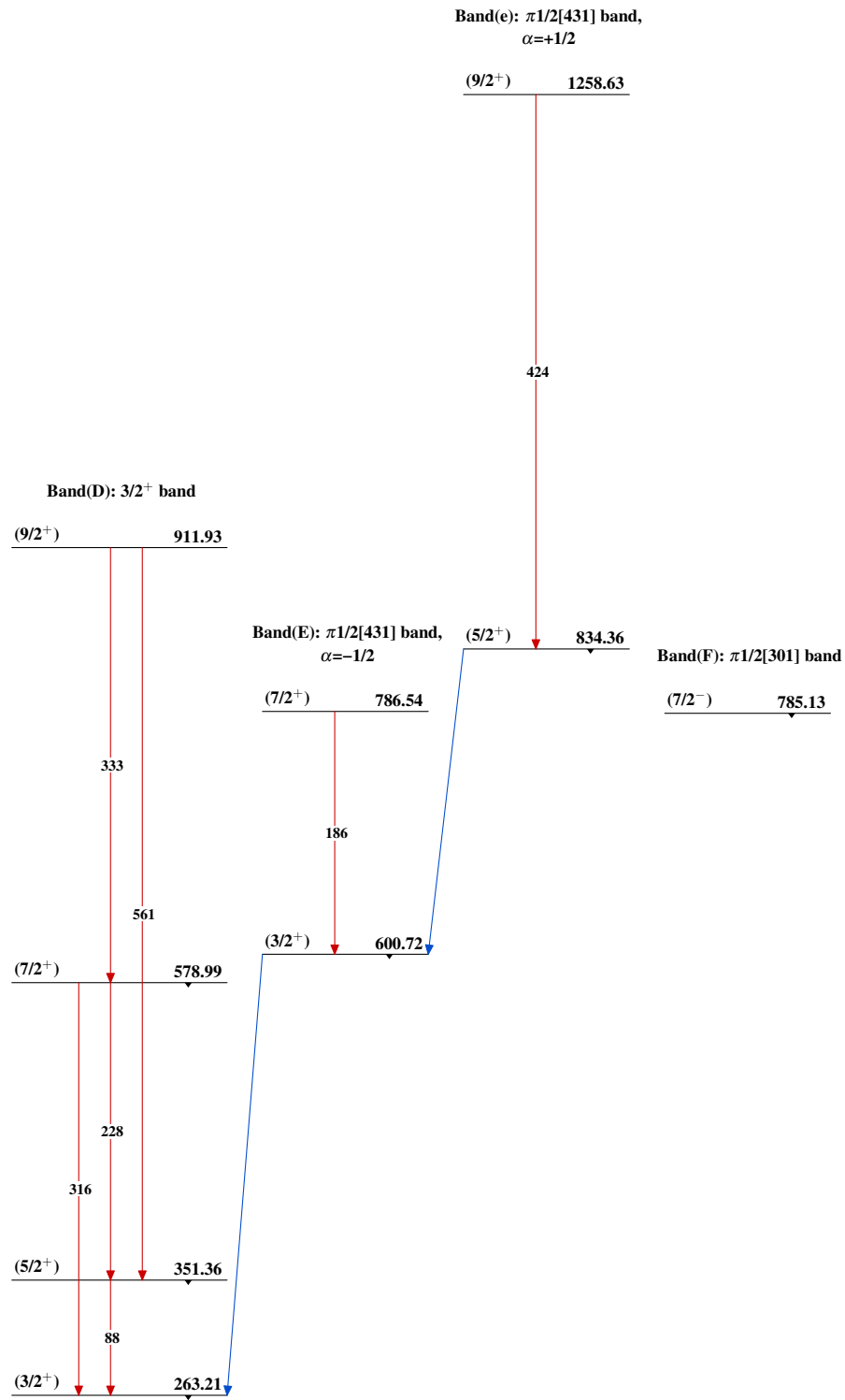
Legend

- $I_\gamma < 2\% \times I_\gamma^{max}$
- $I_\gamma < 10\% \times I_\gamma^{max}$
- $I_\gamma > 10\% \times I_\gamma^{max}$



$^{113}_{45}\text{Rh}_{68}$

$^{252}\text{Cf}$  SF decay 2004Lu03

$^{252}\text{Cf}$  SF decay 2004Lu03 (continued) $^{113}_{45}\text{Rh}_{68}$